

10. Problem Set - 08.06.2022

Elektrodynamik I - 136.015

Gerechnete Beispiele:

28)

29)

30) a)

28 Helmholtz Spulen

28 Helmholtz Spulen

Zwei kreisförmige dünne Spulen mit Radius R haben N dichte Wicklungen aus dünnem isolierten Draht um die r_3 -Achse. Die Mittelpunkte seien bei $r_i = \pm d/2 \delta_{3i}$ und beide Spulen werden vom gleichen Strom I im gleichen Umlaufsinn durchflossen.

- (a) Zeige mit dem Gesetz von Biot-Savart, dass die magnetische Flussdichte entlang der r_3 -Achse gegeben ist durch $B_i(r_3) = \frac{\mu_0 I N R^2}{2} \delta_{3i} \left(\frac{1}{[(r_3 + d/2)^2 + R^2]^{3/2}} + \frac{1}{[(r_3 - d/2)^2 + R^2]^{3/2}} \right)$. Welchen Umlaufsinn hat der Strom I ?
- (b) Finde den Spulenabstand d , sodass das Magnetfeld im Zentrum möglichst homogen wird, also $\partial^n B_i / \partial r_3^n$ für möglichst viele Ordnungen n an $r_3 = 0$ verschwindet. Welche Ordnung ist dann die niedrigste nicht-verschwindende Ordnung?

nur (a) oder (b): 2P, (a) und (b): 3P

a)

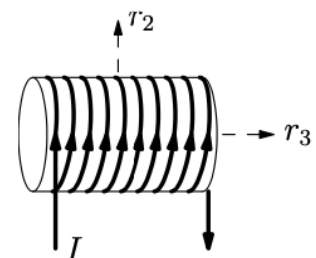
b)

29 Luftspule - Testaufgabe 2019

29 Luftspule – Testaufgabe 2019

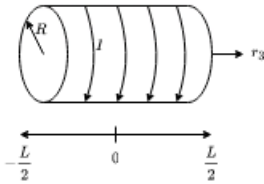
Eine zylindrische Spule mit Länge L und Radius R hat N dichte Wicklungen aus dünnem, isolierten Draht, durch den der Strom I fließt. Die Zylinderachse sei die r_3 -Achse und der Ursprung sei im Zentrum der Spule.

- (a) Bestimme die Flächenstromdichte am Zylindermantel und berechne die magnetische Flussdichte B_i im Zentrum und an einem der Enden $r_i = L/2 \delta_{3i}$. Zeige, dass diese beiden Flussdichten für $L \gg R$ im Verhältnis 2:1 stehen.
- (b) Finde die führende Ordnung von $B_i(r_3)$ für große r_3 bei einer festen Geometrie L und R .



nur (a) oder (b): 2P, (a) und (b): 3P

a)



Die Flächenstromdichte K einer Spule ist gemäß *Electromagnetism* von Gerald L. Pollack und Daniel R. Stump, *Chapter 8 Example 6*, allgemein definiert als:

$$K = \frac{N \cdot I}{L}$$

Weiters soll die magnetische Flußdichte \mathbf{B} an zwei Punkten der Spule ermittelt werden. Allgemein gilt für die den Zusammenhang zwischen der magnetischen Flußdichte \mathbf{B} und der magnetischen Feldstärke \mathbf{H} gemäß *Electromagnetism* von Gerald L. Pollack und Daniel R. Stump, *Formel 9.26*:

$$\mathbf{B} = \mu \cdot \mathbf{H}$$

Außerdem ist die magnetische Feldstärke im Zentrum einer Zylinderspule \mathbf{H}_z definiert durch: (siehe https://de.wikipedia.org/wiki/Magnetische_Feldst%C3%A4rke)

$$\mathbf{H}_z = \mathbf{K} = \frac{N \cdot I}{L} \cdot \vec{e}$$

In unserem Fall entspricht die Richtung der magnetischen Feldstärke im Zentrum einer Zylinderspule \mathbf{H}_z demnach r_3 :

$$\mathbf{H} = \frac{N \cdot I}{L} \cdot \vec{e}_{r_3}$$

Nachdem im Inneren der Zylinderspule ein Vakuum angenommen werden kann, kann die magnetische Permeabilität mit μ_0 angenommen werden. Somit folgt für die magnetische Flußdichte im Zentrum der Zylinderspule \mathbf{B}_z :

$$\mathbf{B}_z = \mu_0 \cdot \mathbf{H}_z = \mu_0 \cdot \frac{N \cdot I}{L} \cdot \vec{e}_{r_3}$$

b)

30 Koaxialkabel

30 Koaxialkabel

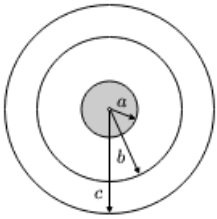
Ein Koaxialkabel besteht aus einem zylindrischen Draht mit Radius a und einem umgebenden coaxialen Hohlzylinder mit Innen- und Außenradius b und c . Durch den Draht fließt ein konstanter Strom I und durch den Hohlzylinder fließt der Rückstrom I in die Gegenrichtung, jeweils gleichmäßig auf den ganzen Querschnitt verteilt.

- (a) Berechne mit dem Ampèreschen Gesetz die magnetische Flußdichte $B_i(r)$ als Funktion des Abstandes r von der Achse für alle r und skizziere sie.
- (b) Bestimme die im Magnetfeld enthaltene Energie pro Länge aus $U = \frac{1}{2\mu_0} \int d^3r B_i^2(r_m) = \frac{1}{2} LI^2$ und zeige, dass die Induktivität pro Länge L/l für dünne Hohlzylinder $c - b \ll b$ gegeben ist durch:

$$\frac{L}{l} = \frac{\mu_0}{24\pi} \left(3 + 12 \log(b/a) + 4 \frac{c-b}{b} \right).$$

(a): 2P, (b): 1P

a)



Die integrale Form des Ampèreschen Gesetzes lautet gemäß *Electromagnetism* von Gerald L. Pollack und Daniel R. Stump, *Formel 8.42*:

$$\oint_C \mathbf{B} \cdot d\mathbf{l} = \mu_0 \cdot \int_S \mathbf{J} \cdot d\mathbf{A} = \mu_0 \cdot I_{\text{enclosed}}$$

Basierend auf diesem Zusammenhang kann in weiterer Folge die magnetische Flußdichte \mathbf{B} in allen drei Bereichen ermittelt werden.

Als erstes wird die magnetische Flußdichte \mathbf{B} im Bereich $r \leq a$ betrachtet. Nachdem der Radius r jeden Wert zwischen 0 und a annehmen kann, kann nicht davon ausgegangen werden, dass der gesamte Strom I von dem Radius r umschlossen wird. Entsprechend berechnen wir in dem ersten Bereich die magnetische Flußdichte \mathbf{B} über die elektrische Stromdichte \mathbf{J} :

$$\oint_{\partial S} \mathbf{B} \cdot d\mathbf{l} = \mu_0 \cdot \int_S \mathbf{J} \cdot d\mathbf{A}$$

Das Integral über die magnetische Flußdichte \mathbf{B} wird über den Rand ∂S einer eingeschlossenen Fläche S berechnet. In unserem Fall entspricht die eingeschlossene Fläche S einem Kreis mit Radius r . Entsprechend ist der Rand ∂S der Umfang des Kreises. Für diesen gilt: $\partial S = 2\pi \cdot r$

Das Integral über die elektrische Stromdichte \mathbf{J} wird über die Fläche S integriert. Diese entspricht wie bereits festgestellt einem Kreis, wodurch für die Fläche S folgt: $S = r^2 \cdot \pi$

Somit kann die magnetische Flußdichte des ersten Bereichs B_1 wie folgt berechnet werden:

$$2\pi \cdot r \cdot B_1 = \mu_0 \cdot r^2 \cdot \pi \cdot J$$

Die elektrische Stromdichte \mathbf{J} entspricht gemäß ihrer Definition:

$$\mathbf{J} = \frac{I}{A}$$

Die Fläche A entspricht dabei der Querschnittsfläche, durch welche gemäß der Angabe der Strom I fließt. Besagte Querschnittsfläche des inneren Drahtes hat den Radius a . Somit folgt:

$$\mathbf{J} = \frac{I}{a^2 \cdot \pi}$$

Dieser Zusammenhang kann nun in die Beziehung zwischen der magnetischen Flußdichte im ersten Bereich \mathbf{B}_1 eingesetzt werden, wodurch folgt:

$$2\pi \cdot r \cdot \mathbf{B}_1 = \mu_0 \cdot r^2 \cdot \cancel{\pi} \cdot \frac{I}{a^2 \cdot \cancel{\pi}}$$

Daraus folgt für die magnetische Flußdichte im ersten Bereich \mathbf{B}_1 :

$$\mathbf{B}_1(r) = \mu_0 \cdot \frac{I \cdot \cancel{r^2}}{a^2 \cdot 2\pi \cdot \cancel{r}} = \mu_0 \cdot \frac{I \cdot r}{a^2 \cdot 2\pi}$$

Der zweite Bereich wird mit $a \leq r \leq b$ angenommen. Dieser Bereich ist gemäß der Angabe stromfrei. Für den zweiten Bereich gelten die selben geometrischen Annahmen wie bereits im ersten Bereich. In diesem Fall kann jedoch der eingeschlossene Strom $I_{enclosed}$ eindeutig mit I angenommen werden, da sich dieser auch mit einem veränderten Radius r nicht ändert. Das Ampéresche Gesetz kann demnach für den zweiten Bereich wie folgt angeschrieben werden:

$$\oint_{\partial S} \mathbf{B} \cdot d\mathbf{l} = \mu_0 \cdot I_{enclosed}$$

Mit den geometrischen Bestimmungen des ersten Bereichs folgt daraus:

$$2\pi \cdot r \cdot \mathbf{B}_2 = \mu_0 \cdot I_{enclosed}$$

Damit folgt für die magnetische Flußdichte im zweiten Bereich \mathbf{B}_2 :

$$\mathbf{B}_2(r) = \mu_0 \cdot \frac{I}{2\pi \cdot r}$$

Für den Bereich $b \leq r \leq c$ gelten weiterhin die Annahmen des ersten Bereiches, wobei das Vorgehen ebenfalls analog zu dem ersten Bereich ist. Nachdem der dritte Bereich ebenfalls von einem Strom $-I$ durchflossen ist, erfolgt die Berechnung der magnetischen Flußdichte im dritten Bereich \mathbf{B}_3 erneut über die elektrische Stromdichte \mathbf{J} . Somit folgt für das Ampéresche Gesetz:

$$\oint_{\partial S} \mathbf{B} \cdot d\mathbf{l} = \mu_0 \cdot \int_S \mathbf{J} \cdot d\mathbf{A}$$

Setzt man erneut die geometrischen Zusammenhänge des ersten Bereiches ein, folgt daraus:

$$2\pi \cdot r \cdot \mathbf{B}_{3_{self}} = \mu_0 \cdot r^2 \cdot \pi \cdot \mathbf{J}$$

Die elektrische Stromdichte \mathbf{J} entspricht gemäß ihrer Definition:

$$\mathbf{J} = \frac{I}{A}$$

Die gesamte Querschnittsfläche A des dritten Bereiches entspricht dabei:

$$A = c^2 \cdot \pi - b^2 \cdot \pi = \pi \cdot (c^2 - b^2)$$

Der Strom I entspricht im dritten Bereich, gemäß der Angabe:

$$I = -I$$

Somit folgt für die elektrische Stromdichte \mathbf{J} im dritten Bereich:

$$\mathbf{J} = -\frac{I}{\pi \cdot (c^2 - b^2)}$$

Eingesetzt in den Zusammenhang zwischen der magnetischen Flußdichte im dritten Bereich $\mathbf{B}_{3_{self}}$ und der elektrischen Stromdichte \mathbf{J} ergibt sich damit: (Der Bereich $r^2 \cdot \pi - b^2 \cdot \pi = (r^2 - b^2) \cdot \pi$ entspricht der Fläche, durch welche die elektrische Stromdichte \mathbf{J} bei einem Radius r geht.)

$$2\pi \cdot r \cdot \mathbf{B}_{3_{self}} = \mu_0 \cdot (r^2 - b^2) \cdot \pi \cdot \left(-\frac{I}{\pi \cdot (c^2 - b^2)} \right)$$

Die magnetische Flußdichte im dritten Bereich \mathbf{B}_3 folgt damit zu:

$$\mathbf{B}_{3_{self}} = \mu_0 \cdot \frac{(r^2 - b^2) \cdot \cancel{\pi}}{2\pi \cdot r} \cdot \left(-\frac{I}{\cancel{\pi} \cdot (c^2 - b^2)} \right) = -\mu_0 \cdot \frac{I}{2\pi \cdot r} \cdot \frac{r^2 - b^2}{c^2 - b^2}$$

Weiters muss in dem dritten Bereich die magnetische Flußdichte des zweiten Bereiches \mathbf{B}_2 ebenfalls berücksichtigt werden, nachdem diese in dem dritten Bereich ebenfalls wirkt. Somit ergibt sich für die finale Ermittlung der magnetischen Flußdichte im dritten Bereich \mathbf{B}_3 :

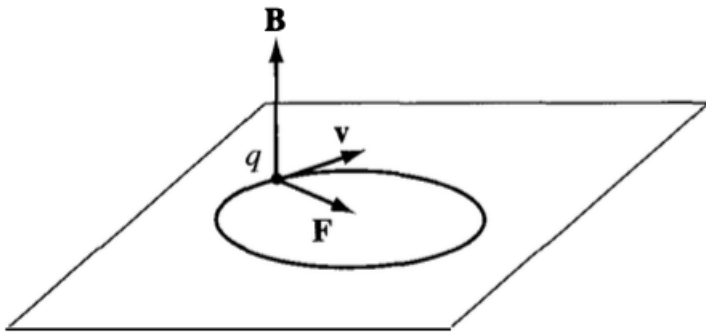
$$\mathbf{B}_3 = \mathbf{B}_2 + \mathbf{B}_{3_{self}}$$

Mit den Ergebnissen für \mathbf{B}_2 und $\mathbf{B}_{3_{self}}$ folgt für \mathbf{B}_3 final:

$$\begin{aligned} \mathbf{B}_3 &= \mu_0 \cdot \frac{I}{2\pi \cdot r} - \mu_0 \cdot \frac{I}{2\pi \cdot r} \cdot \frac{r^2 - b^2}{c^2 - b^2} \\ \mathbf{B}_3(r) &= \mu \cdot \frac{I}{2\pi \cdot r} \cdot \left(1 - \frac{r^2 - b^2}{c^2 - b^2} \right) \end{aligned}$$

Im vierten Bereich, für $c \leq r$, entspricht die magnetische Flußdichte \mathbf{B}_4 gleich 0:

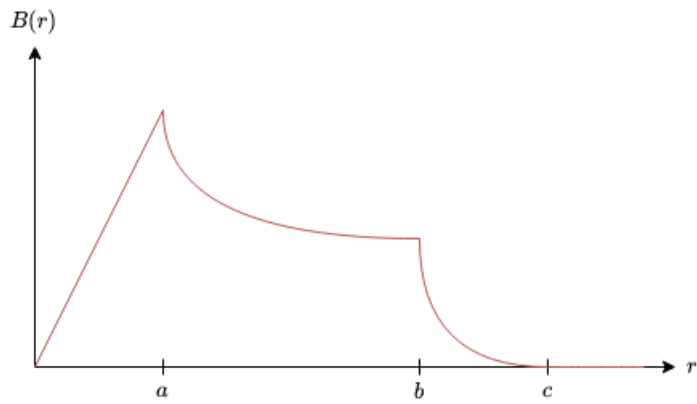
$$\begin{aligned} \mathbf{B}_4(r) = \mathbf{B}_3(c) &= \mu \cdot \frac{I}{2\pi \cdot r} \cdot \left(1 - \frac{r^2 - b^2}{c^2 - b^2} \right) = \mu \cdot \frac{I}{2\pi \cdot r} \cdot \left(1 - \underbrace{\frac{c^2 - b^2}{c^2 - b^2}}_{=1} \right) \\ \mathbf{B}_4(r) &= \mu \cdot \frac{I}{2\pi \cdot r} \cdot \underbrace{(1 - 1)}_{=0} = 0 \end{aligned}$$



Die Ausbreitungsrichtung aller magnetischer Flußdichten \mathbf{B}_1 , \mathbf{B}_2 , \mathbf{B}_3 und \mathbf{B}_4 ist jeweils \vec{e}_φ :

$$\begin{aligned} \mathbf{B}_1(r) &= \mu_0 \cdot \frac{I \cdot r}{a^2 \cdot 2\pi} \cdot \vec{e}_\varphi \\ \mathbf{B}_2(r) &= \mu_0 \cdot \frac{I}{2\pi \cdot r} \cdot \vec{e}_\varphi \\ \mathbf{B}_3(r) &= \mu \cdot \frac{I}{2\pi \cdot r} \cdot \left(1 - \frac{r^2 - b^2}{c^2 - b^2} \right) \cdot \vec{e}_\varphi \\ \mathbf{B}_4(r) &= 0 \end{aligned}$$

Skizziert entspricht die magnetische Flußdichte B des Koaxialkabels abhängig von dem Radius r :



b)